

## 人工軽量コンクリートの圧縮破壊条件について

京都大学工学部 正員 工博 丹羽義次  
 正員 工修 小林明一  
 正員 工修 小柳捨

## § 結論

コンクリートの多軸応力下の破壊条件は現在まで確立されつつあるが、以下に満足なものではない。巨視的にみたコンクリートの一般的な破壊条件は、三次元における破壊曲面を表わせる。ここに骨材として均質度・高さとみられる造粒系人工軽量骨材を用いて約200個の供試体から圧縮域でのコンクリートの破壊曲面を求める実験を行なった。

## § 実験概要

使用材料：セメントは普通ポルトランドセメント（大阪セメントK.K.製），骨材は粗細骨材とともに造粒系人工軽量骨材ライオナイト（大阪セメントK.K.製）を使用した。粗骨材は最大寸法=15mm, 比重=1.53, 細骨材はF.M.=2.99, 比重=1.98である。

コンクリート配合はC:S:G=1.00:1.34:1.43(重量比), 水セメント比=44.5%である。コンクリートはアイリッヒ型ミキサで練り混ぜ、 $10.5 \times 10.5 \times 10.5$  cm立方体試験体,  $\phi 10 \times 20$  cm円柱供試体を作成した。打設時のスラッシュは4~6cmである。試験体は打設後1日で脱型以後26日間恒温水槽( $20 \pm 1^\circ\text{C}$ )中で養生、成形28日で試験を行なった。円柱供試体はバッケ内変動と通常の単軸圧縮強度とを求める目的であり、バッケ内変動には有意差がないため以後全試験の平均結果を解説する。

立方体試験荷重は島津製三軸圧縮試験機を用い、載荷面積は $10 \times 10$  cm, 供試体と載荷板間の摩擦を減すため両面にシリコングリースを塗布して0.23 mm厚ゴムシートを使用した（推定摩擦係数 $\mu=0.008 \sim 0.013$ ）。

載荷方法は図-1に示す。すなはち二軸圧縮試験 ( $\sigma_1 \geq \sigma_2 > \sigma_3 = 0$ ,  $\sigma_1$ に正) は比例載荷を、三軸圧縮試験は $I_1=一定$ 面内での載荷を主体とした。

試験は $I_1=1.5 \sim 6.5 \text{ } \text{cm}^{-1}$  ( $\sigma_1=\text{立方体単軸圧縮強度}$ ) の6断面上で、 $\sigma_1=\sigma_2 > \sigma_3$  (Case 1) から $\sigma_1 > \sigma_2 = \sigma_3$  (Case 5) までの種類の応力状態について行なつた。なお、荷重経路を上記のものと変えて載荷試験を行なつた。

## § 実験結果

単軸圧縮強度は立方体試験によるもの $\sigma_c=298 \text{ } \text{kg/cm}^2$ , 円柱供試体によるもの $\sigma_c=316 \text{ } \text{kg/cm}^2$ 。

二軸圧縮強度試験結果を主応力周の関係で図-2に示す。

三軸圧縮強度試験結果による $I_1=\text{constant}$ 面内の切入曲線を図-3に、Rendulicの応力曲線を図-4に示す。この两者より破壊曲面形状は容易に判る。なお等方圧縮の仮定から主応力周に互換性を有するため、実験は全破壊曲面の1/6によく結果の表示をこの部分のみを示す。さらに $\frac{\sigma_1 - \sigma_3}{2\sigma_0}$  vs.  $\frac{\sigma_1 + \sigma_3}{2\sigma_0}$  曲線を図-5に示す。また供試体の破壊状況を写真-4に示す。

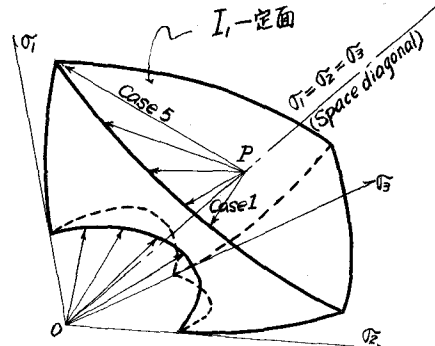
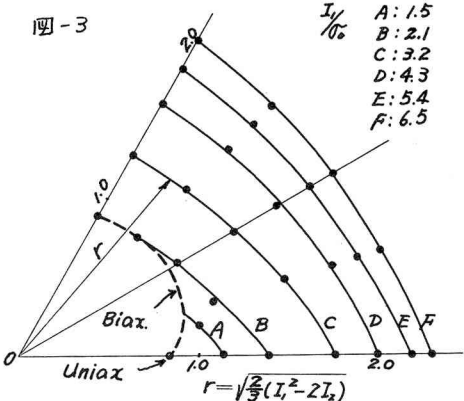
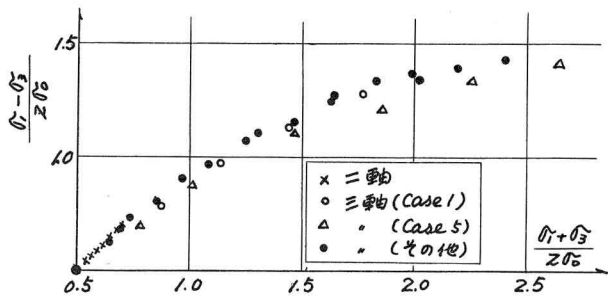
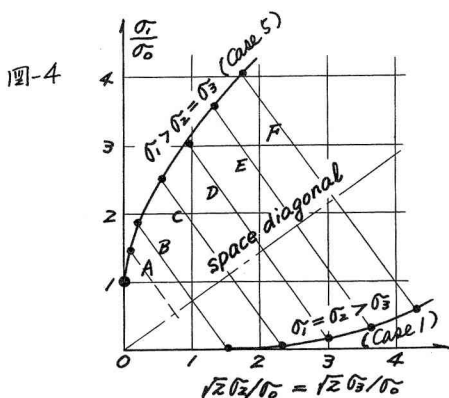
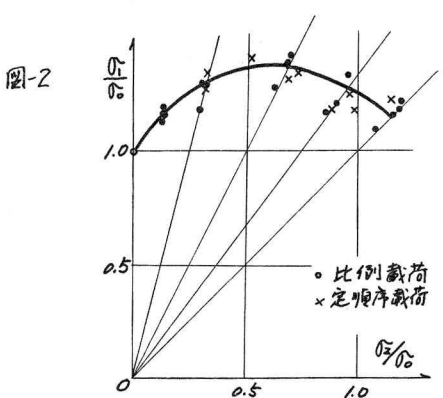


図-1



### 総括

1. コンクリートの破壊曲面は space diagonal を軸とし主応力間に互換性のある凸曲面で静水圧の増加と共に膨張する。この直載面はやや膨らんだ三角形状である。 $I_1/\sigma_0$  の増加と共に丸味を帯びる。これは  $I_1/\sigma_0$  の増加による内部構造の変化から flow が卓越することを示す。
2. 2 の破壊曲面は Rendulic の応力曲線を求めるにはより大略の形を推定しうる。
3. 見分けの破壊条件は  $(\sigma_1 - \sigma_3)/2\sigma_0 \leq 0.5$  および  $(\sigma_1 + \sigma_3)/2\sigma_0$  曲線によつても近似しうる。
4. 載荷経路の影響は殆んどみられないかつてば、三軸比例載荷では載荷経路が破壊曲面に近づく不安定領域を通るため、直載面内での載荷を行なう方が曲面決定には有利である。
5. 本実験は軽量骨材を用いた試験であるが、普通コンクリートにおける圧縮域での破壊曲面は本実験で求められたものとほぼ同じ形状を示すことが推定される。

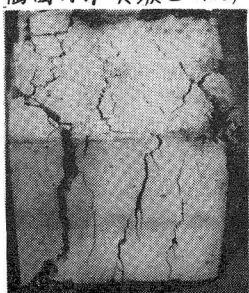


写真-1 (单軸圧縮)

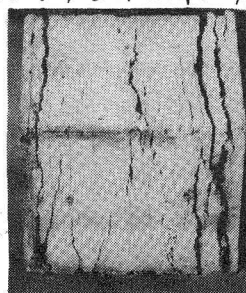


写真-2 (二軸圧縮) (1:1)

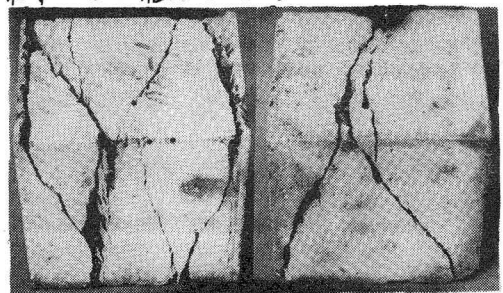


写真-3 (三軸圧縮) (CC-1) 写真-4 (同左) (CC-5)